

## آشکارسازی و تعیین میزان فرونشست با استفاده از روش تداخل سنج راداری (D-InSAR) در

### محدوده دشت هریس

میراسدالله حجازی\*: دانشیار گروه ژئومورفولوژی، دانشکده برنامه‌ریزی و علوم محیطی، دانشگاه تبریز، تبریز

محمدحسین رضایی مقدم: استاد گروه ژئومورفولوژی، دانشکده برنامه‌ریزی و علوم محیطی، دانشگاه تبریز، تبریز

خلیل ولیزاده کامران: دانشیار گروه سنجش از دور و سیستم اطلاعات جغرافیایی، دانشکده برنامه‌ریزی و علوم محیطی، دانشگاه تبریز، تبریز

نداموسوی کجاباد: دانشجوی دکتری تخصصی ژئومورفولوژی، دانشکده برنامه‌ریزی و علوم محیطی، دانشگاه تبریز، تبریز

نوع مقاله: پژوهشی

تاریخ پذیرش: ۱۴۰۰/۸/۲۷

مقاله دریافت: ۱۴۰۰/۳/۳۱



20.1001.1.22517812.1401.12.1.5.0

### چکیده

فرونشست، پدیده‌ای مورفولوژیکی است که تحت تأثیر عوامل محیطی و انسانی صورت می‌گیرد و به افت سطح آب‌های زیرزمینی و در نتیجه فرونشست منجر می‌شود. در این تحقیق به منظور تعیین محدوده تحت تأثیر و برآورد میزان فرونشست، از روش تداخل سنج و تصاویر ماهواره Envisat و Sentinel استفاده شد. دشت هریس از جمله مناطقی است که با پدیده فرونشست زمین روبرو شده است و تعیین مکان و میزان فرونشست آن، می‌تواند به مسئولان مربوطه در جلوگیری از تشدید این پدیده در آینده کمک کند. به نظر می‌رسد افت سطح ایستابی و به دنبال آن افزایش تنش مؤثر، دلیل اصلی فرونشست این محدوده (دشت هریس) است که این تحقیق نیز در پی اثبات این فرضیه می‌باشد. با توجه به اینکه تصاویر ENVISAT از سال ۲۰۱۲ وجود ندارد، ادامه محاسبه فرونشست در سال‌های آتی از طریق تصاویر Sentinel انجام می‌شود. برای بررسی میزان فرونشست در منطقه، پردازش‌های اولیه در نرم‌افزارهای (GIS) سنجش از دور و سیستم اطلاعات جغرافیایی انجام و از دو فیلتر Goldstein و Adaptive برای بررسی نتایج به دست آمده استفاده شد. نتایج به دست آمده حاکی از آن است که در فیلتر Goldstein، مقادیر فرونشست در محدوده مورد نظر تا سال ۲۰۱۹، در حدود ۹ سانتی‌متر و میزان آپلیفت (بالا آمدگی) ۸/۵ سانتی‌متر و در فیلتر adaptive، مقادیر فرونشست ۹/۵ سانتی‌متر و میزان آپلیفت ۸ سانتی‌متر بوده است. میزان فرونشست با عوامل لیتولوژی و زمین‌شناسی انطباق داده و مشخص شد که میزان فرونشست در رسوبات سست و منفصل بیش از سایر سازندها بود. در مقایسه فرونشست با کاربری اراضی نیز مشخص شد که بیشترین فرونشست در مراتع اتفاق افتاده است. همچنین برای اعتبارسنجی تحقیق نیز ارتباط بین فرونشست و عمق چاه‌های منطقه مطالعه شد که همبستگی مثبت ۸۷ درصد به دست آمد و نشان داد در مناطقی که فرونشست اتفاق افتاده، عمق چاه‌ها هم عمیق تر است. واژگان کلیدی: فیلتر، افت سطح ایستابی، دشت هریس، تصاویر راداری، فرونشست.

## ۱- مقدمه

فرونشست زمین مسئله‌ای جهانی و پدیده‌ای مورفولوژیکی است. این پدیده متأثر از فعالیت‌های انسانی و عوامل طبیعی است که ممکن است به خطر و تهدیدی برای انسان و دستاوردهای انسانی تبدیل شود. این موضوع نتایج محققان دیگر بوده که در ادامه با ذکر منبع بدان پرداخته می‌شود.

برداشت نامناسب آب زیرزمینی، عوامل زمین‌شناسی و آب زیرزمینی نیز در ایجاد پدیده فرونشست بسیار مؤثرند. تخلخل مصالح تشکیل‌دهنده لایه‌های خاک، تراکم، نوع، جنس و ترکیب لایه‌ها، نحوه پمپاژ، ساختار زمین‌شناسی منطقه، هدایت هیدرولوژیکی لایه‌های آبدار، بارندگی و دما، همگی از عوامل مؤثر در فرونشست زمین به شمار می‌رود. استخراج بی‌رویه آب زیرزمینی به افت سطح این آب و کاهش فشار سیال و در نتیجه، افزایش فشار میان ذره‌ای منجر می‌شود که ایجاد تراکم و پدیده فرونشست زمین را در پی دارد (Haghighat joo et al, 2012). افت سطح آب زیرزمینی و ناهمگنی بافت، ستبرای و ویژگی آبرفت‌های منطقه نیز به فرونشست سطح زمین منجر می‌شود و شکاف‌هایی در پوسته زمین به وجود می‌آورد. پیامدهای محیطی پدیده فرونشست، اساساً شامل آسیب‌رساندن به سازه‌های دست‌ساز بشر مانند ساختمان‌ها، خیابان‌ها، پل‌ها، خطوط انتقال نیرو و ایجاد شکاف‌هایی بر روی سطح زمین است. در دو دهه گذشته، استفاده از داده‌های سنجش از دور برای درک پدیده‌های اساسی مخاطرات طبیعی افزایش یافته است؛ به گونه‌ای که سیستم‌های سنجش از دور ماهواره‌ای با پایش تغییرات صورت گرفته در مناطق مختلف سطح زمین، اطلاعات فضایی مداوم را در زمینه این تغییرات (زلزله، حرکت گسل‌ها، رانش زمین و ...) در اختیار دانشمندان علوم زمین قرار می‌دهد؛ به طوری که تکنیک تداخل‌سنجی راداری به‌منزله تکنیک بهتر و کاربردی سنجش از دور، در سال‌های اخیر به سرعت توسعه یافته است. سیستم‌های دهانه ترکیبی راداری فضایی، سطح زمین را برای سال‌ها مشاهده کرده‌اند و داده‌های مشاهدات زمینی چند زمانه به دست آورده‌اند. بسیاری از مطالعات سنجش از دور انجام شده، برای توسعه فناوری‌هایی بوده است که به خوبی از اطلاعات به دست آمده سیستم‌های دهانه ترکیبی راداری استفاده کنند. این اطلاعات شامل استخراج و طبقه‌بندی شکستگی‌ها و گسل‌ها و شناسایی تغییرات سطح زمین و ... با استفاده از تصاویر راداری است؛ به طوری که تمام این اطلاعات، از طریق شناسایی تغییرات تصویر بر اساس تجزیه و تحلیل نسبی چندین تصویر به دست آمده در زمان‌های متفاوت است.

در ایران فرونشست زمین، پیشینه‌ای سی و چند ساله دارد و اینک استان‌های اصفهان، خراسان، تهران، آذربایجان شرقی و غربی و غیره نیز دچار فرونشست است. این مشکل به طور روزافزون در استان‌های بیشتری خودنمایی می‌کند (Maleki et al, 2014). در همه فرونشست‌هایی که در ایران رخ می‌دهد، استخراج بی‌رویه آب‌های زیرزمینی تنها عامل یا مهم‌ترین عامل ایجاد فرونشست است. برای اندازه‌گیری فرونشست زمین روش‌های مختلف ژئودتیک و غیرژئودتیک مانند استفاده از توتال استیشن، لیزر اسکنر و غیره وجود دارد<sup>۱</sup>. با توجه به اینکه مشاهدات و پردازش شبکه ژئودینامیک توسط گیرنده‌ها به صورت ۲۴ ساعته در شهرهای محدود، به ردیابی و ثبت سیگنال‌های دریافتی از ماهواره می‌پردازد، اطلاعات جمع‌آوری شده در هر ایستگاه به صورت مشاهداتی و ناوبری در مراکز پردازش می‌شود. در این مراکز پس از کنترل کیفیت و تبدیل فرمت، این اطلاعات به نرم‌افزار پردازش وارد می‌شود. ایستگاه‌های GPS، اندازه‌گیری‌های

<sup>۱</sup> Global Positioning System GPS

دقیق و پیوسته‌هایی را در نقاط محدودی از نواحی فرونشست نشان می‌دهند. روش تداخل‌سنجی راداری (InSAR)<sup>۱</sup> نیز در سال‌های اخیر به‌عنوان یکی از روش‌های غیرژئودتیک - با توجه به مزایایی که نسبت به دیگر روش‌ها دارد - بسیار قابل توجه بوده‌است. این روش در میان روش‌های زمینی و فضایی به‌عنوان کارآمدترین روش، برای اندازه‌گیری تغییرات سطح زمین با دقت و قدرت تفکیک مکانی بسیار بالا به شمار می‌رود. از جمله مزایای این روش می‌توان به دقت بسیار بالا، پوشش وسیع، قدرت تفکیک مکانی بالا و بی‌نیازی به کار میدانی در سطح وسیع، مقرون به صرفه بودن و امکان دستیابی به اطلاعات در هر شرایط آب و هوایی اشاره کرد.

مسئله اصلی در این رساله، اندازه‌گیری میزان جابه‌جایی ناشی از فرونشست در محدوده دشت هریس است. با توجه به توان بالای منطقه آذربایجان در وقوع هر دو نوع مخاطره طبیعی (فرونشست و زمین‌لغزش) و وارد ساختن خسارت به ویژه به شاه‌رگ‌های حیاتی، می‌توان هدف اصلی پژوهش حاضر را استخراج میزان فرونشست منطقه مورد مطالعه در بازه زمانی (۲۰۰۶ تا ۲۰۱۲) توسط سنجنده Envisat و (۲۰۱۴ تا ۲۰۱۹) توسط سنجنده Sentinel-1 و از داده‌های اپتیکی Sentinel-2 برای استخراج نقشه کاربری زمین دانست که می‌تواند در امر اندازه‌گیری جابه‌جایی ناشی از پدیده فرونشست کمک شایانی داشته باشد.

در ایران نیز در چند سال اخیر از این روش در پایش تغییر شکل‌های سطح زمین استفاده شده‌است. یکی از دلایل آن را می‌توان محدود بودن تعداد ایستگاه‌های GPS دائم مربوط به شبکه ژئودینامیک ایران (Iranian Permanent Network for Geodynamic)<sup>۲</sup> دانست. بررسی توانایی و دقت این روش در اندازه‌گیری جابه‌جایی‌های سطح زمین ضروری به نظر می‌رسد.

محدودیت قدرت تفکیک مکانی و زمانی برای تصاویر چند طیفی و محدودیت داده‌های SAR برای کاربردهای شهری و طبقه‌بندی و تلفیق این تصاویر، به بهبود ضعف‌های آنها منجر می‌شود (Alizadeh, Mohamad 2019). در این فناوری با استفاده از تلفیق داده‌های به دست آمده از سامانه‌های تصویربرداری رادار نصب شده بر سکوه‌های ماهواره‌ای یا هواپیمایی، حرکت، ارتفاع و تغییرات سطح زمین نقشه‌برداری می‌شود (Nedaei و همکاران (2016)). Keshavarz و همکاران (۲۰۱۸) به بررسی فرونشست منطقه صنعتی فاریاب با استفاده از تصاویر Sentinel-1، برای سال‌های ۲۰۱۵ تا ۲۰۱۷ پرداختند. نتایج به دست آمده نشان داد که میانگین میزان فرونشست زمین در سال ۲۰۱۵ هفت سانتی‌متر، در ۲۰۱۶ نه سانتی‌متر و ۲۰۱۷ هفت سانتی‌متر بوده‌است. Bayati و همکاران (۲۰۱۸) در پژوهشی تحت عنوان ارزیابی مقایسه‌ای روش‌های سنجش چگونگی مورفوتکتونیک، با تحلیل تصاویر ماهواره‌ای در مناطق زاینده‌رود و آبدوخی به بررسی وضعیت تکتونیک و مورفوتکتونیک پرداختند و مقایسه‌ای میان شاخص‌های مورفیک و نتایج داده‌های راداری این مناطق انجام دادند. نتایج نشان داد در هر دو منطقه، مقادیر جابه‌جایی با نتایج حاصل از شاخص‌های مورفیک (چند شکلی) همبستگی و هماهنگی بسیار بالایی را نمایش می‌دهد. Emam bakhsh و همکاران (۲۰۱۸)، در پژوهشی فرونشست زمین در دشت ارزوئیه کرمان را با استفاده از روش تداخل‌سنجی تفاضلی راداری (DINSAR) و

<sup>۲</sup>Permanent Network for Geodynamic

<sup>۳</sup>Iranian Permanent Network for Geodynamic

<sup>۴</sup>interferometric synthetic Aperture Radar

<sup>۵</sup>Differential interferometry Synthetic Aperture Radar

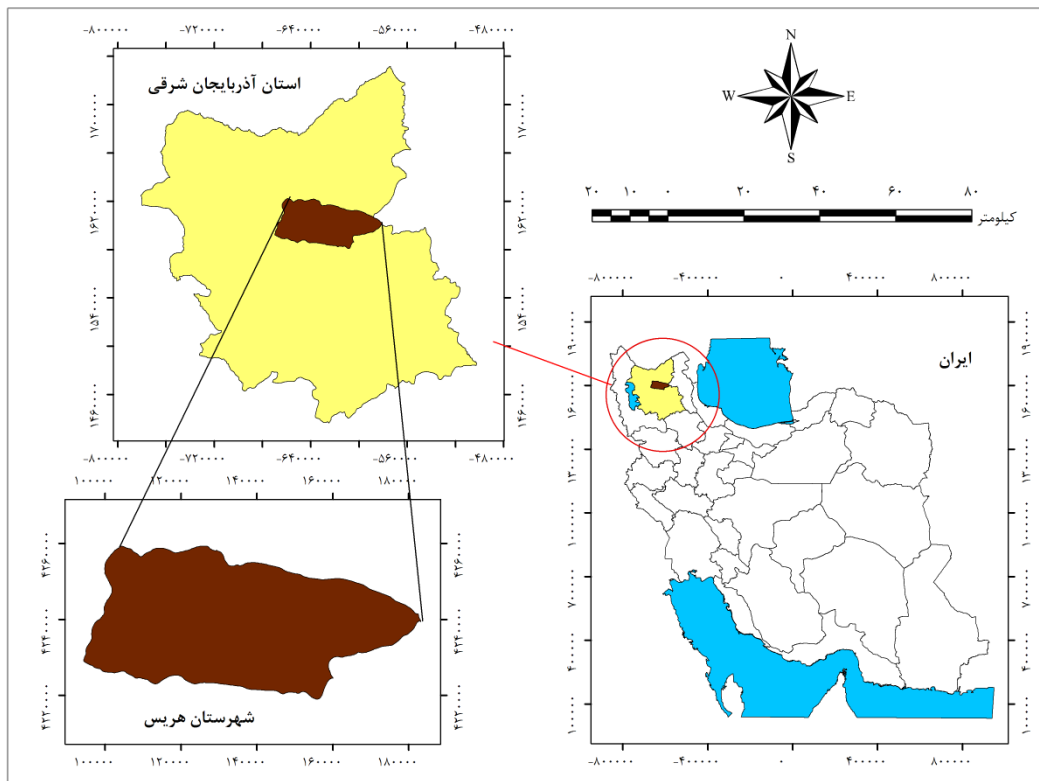
با به کارگیری تصاویرسنجنده‌های Asar و Sentinel 1 بررسی کردند. نتایج تحلیل سری‌های زمانی به‌دست آمده نشان داد که این منطقه به‌طور پیوسته در حال فرونشست است؛ میزان فرونشست در سال ۲۰۰۸ تا ۲۰۰۹ برابر با پانزده سانتی-متر بود که بیشترین آن در قسمت شمال غربی و مرکزی دشت مشاهده شد، سال ۲۰۰۹ تا ۲۰۱۰ به میزان ۱۱/۹ سانتی‌متر که باز هم بیشترین مقدار فرونشست در قسمت شمال غربی و مرکزی دشت و برای سال ۲۰۱۴ تا ۲۰۱۵ برابر با ۱۲/۸ سانتی‌متر و بیشترین مقدار آن در قسمت جنوب شرقی دشت ارزوئیه بود.

در این پژوهش سعی شده‌است با روش‌های جدید برآورد میزان فرونشست، میزان آن در دشت هریس برآورد و با عوامل زمین‌شناسی و کاربری به عنوان نمونه‌ای از عوامل محیطی و انسانی مقایسه شد.

### الف- موقعیت دشت هریس

شهرستان هریس حدود ۲۳۷۷/۶ کیلومترمربع مساحت دارد و در استان آذربایجان شرقی واقع شده‌است. از جنوب به شهرستان بستان‌آباد، از مشرق به شهرستان‌های سراب و مشکین‌شهر، از غرب به شهرستان تبریز و از شمال به شهرستان اهر محدود است (شکل ۱). وسعت این شهرستان حدود ۳/۲ درصد کل وسعت استان آذربایجان شرقی است و در موقعیت ۳۸ درجه و ۲۴ دقیقه عرض شمالی و ۴۷ درجه و ۲۲ دقیقه طول شرقی واقع شده‌است. حدود هفتاد درصد از وسعت این شهرستان را اراضی جلگه‌ای و سی درصد آن را مناطق کوهستانی تشکیل می‌دهد. پست‌ترین نقاط آن ۱۵۰۰ متر و مرتفع‌ترین آن ۳۱۴۳ متر از سطح دریا ارتفاع دارد. مهم‌ترین کوه‌ها و ارتفاعات منطقه بدین شرح است: رشته کوه‌های بزغوش، سابلاغ داغ، آق‌داغ و قوشاداغ با قله‌ای به ارتفاع ۳۱۴۳ متر در شمال هریس و در حد فاصل دو شهرستان اهر و هریس در امتداد شرق به غرب واقع شده و مرز مشترک حوضه آبریز ارس و تلخه‌رود است. کوه آیناخلی از شمال شرقی به جنوب غربی در بخش خواجه کشیده شده و حداکثر ارتفاع آن ۲۸۷۳ متر است. کوه پیرداغ با ارتفاع ۲۸۵۲ متر در منتهی‌الیه غرب شهرستان هریس واقع شده و از ارتفاعات مشرف به روستای نهند در بخش خواجه است.

شهرستان هریس در ارتفاعات دارای آب و هوای استیپی سرد و در نقاط پست یعنی کناره تلخه‌رود دارای کليمای مدیترانه‌ای است که به طور کلی، زمستان‌های سرد و یخبندان و تابستان‌های ملایم دارد. متوسط درجه حرارت حداقل ۲۵- در زمستان و حداکثر ۳۵ درجه در تابستان است. متوسط بارندگی سالانه شهرستان ۳۵۰ میلی‌متر بود که غالباً ۸۷ میلی‌متر آن در پاییز، ۹۰ میلی‌متر در زمستان، ۱۷۲ میلی‌متر در بهار و یک میلی‌متر در تابستان نازل می‌شود.



شکل ۱: موقعیت مورد مطالعه

### ب- مشخصات زمین‌شناختی منطقه مورد نظر

این منطقه بیشتر شامل نهشته‌های کواترنری و نئوژن است. در بالا دست رودخانه‌ها نهشته‌های کهن‌تر (پرکامبرین، مزوزوئیک و نئوژن) را فرسایش داده و در پایین دست، مخروط افکنه‌ها را تشکیل داده‌است. در یک نگاه کلی، منطقه از دو واحد تشکیل شده که شامل واحدهای کوهستان و دشت است. از نظر ژئومورفولوژی، این واحد جزء مناطق معمولاً مرتفع محسوب می‌شود و ارتفاعات و فعالیت هوازدگی شدید دارد. بسته به اینکه کوهستان در چه منطقه آب و هوایی قرار گرفته‌است، دچار هوازدگی فیزیکی و شیمیایی می‌شود که ممکن است به علت ارتفاع زیاد هوازدگی صرفاً فیزیکی، در این صورت دامنه‌ها دارای شیب زیاد و در نتیجه دره‌های عمیق خواهند بود. این واحد شامل آبراهه‌های اصلی و فرعی و دارای یک سلسله قله‌های منفرد است. وجود گنبد‌های گدازه به همراه جریان‌های سبزرگدازه، برش و لایه‌های ایگنمبریتی، بیانگر یک مرکز فوران مهم در این منطقه است. بر اساس تحقیقات سازمان زمین‌شناسی، عملکرد گسل گوشه‌داغی در محدوده مورد نظر به فعالیت گسل تبریز منجر می‌شود. جهت شیب در واحد کوهستانی جنوبی است و اکثر قسمت‌های واحد کوهستان از سازند دوره آئوسن تشکیل شده‌است. ارتفاع این دشت از سطح دریا بین ۱۸۰۰ تا ۱۸۵۰ متر است و از این جهت به عنوان بام آذربایجان، شناخته و واحد دشت نواحی با ارتفاع کمتر از ۱۶۰۰ متر را شامل می‌شود. این واحد در پایین‌دست به زمین‌های پست جلگه‌ای و پلایای دریاچه منتهی می‌شود. وسعت دشت بیش از ۲۷۰ کیلومتر مربع است. این واحد شامل باغ‌ها، مراتع مناطق زراعی و در پایین‌دست مناطق مسکونی است. در زمینه وضعیت فرسایش در این واحد ژئومورفولوژیکی باید گفت با توجه به اینکه این واحد از مخروط افکنه‌ها و نهشته‌های آبرفتی درشت‌دانه تشکیل شده‌است، اغلب در مسیر خود در جهت شیب فرسایش‌های آبراهه‌ای و شیاری را به نمایش می‌گذارد. درشت دانه بودن و ضخامت زیاد (متوسط صد متر) از خصوصیات این واحد

است. نفوذپذیری زیاد، مانع از فرسایش عمقی رسوبات می‌شود و در نتیجه، رسوبات دانه درشت تخریبی که در اثر سیلاب از واحد کوهستان آورده شده‌است، در این ناحیه رسوب می‌کند.

## ۲- مواد و روش تحقیق

اساس کار در اندازه‌گیری تغییرات سطح زمین، استفاده از تصاویر تکراری رادار است. تصویری که از یک منطقه در یک زمان مشخص برداشت می‌شود با تصویری که در زمان دیگر توسط همان سنجنده رادار برداشت شده‌است، تلفیق می‌شود. روش تداخل‌سنجی راداری، شناسایی مناطق در حال نشست و تعیین وسعت آنها را ممکن می‌سازد. روش‌های تداخل‌سنجی راداری سنتی، به طور گسترده‌ای به منظور مشخص کردن فشردگی سفره آب زیرزمینی در مقیاس زمانی زیاد استفاده شده‌است. اگرچه تحلیل سری زمانی، به تازگی به عنوان فنی برای توصیف رفتار مکانی و زمانی کوتاه مدت و بلندمدت فرونشست توسعه یافته‌است.

سنجنده‌های راداری متفاوتی، آرشو بسیار وسیعی را به مدت پانزده سال از اطلاعات مورد نیاز در اختیار قرار می‌دهند. سنجنده‌هایی که تاکنون مورد استفاده قرار می‌گرفتند، عبارتند از: ماهواره‌های سنجنش از دوری اروپایی Envisat، ERS-1, ERS-2, Asar ماهواره‌های کانادایی Radarsat-1 و Radarsat-2 و ماهواره‌های ژاپنی JERS و ALOS. در میان این ماهواره‌ها، Envisat و ERS کشور ایران را به طور مطلوبی پوشش می‌دهند. این دو ماهواره در هر برداشت، منطقه‌ای به وسعت  $100 \times 100$  کیلومتر مربع را پوشش می‌دهد و میزان تکرار تصویربرداری آنها ۳۵ روز یک‌بار است. حد تفکیک مکانی این سنجنده‌ها در حدود سی متر است که آنها را در دسته سنجنده‌های با حد تفکیک متوسط قرار می‌دهد. در سال ۲۰۰۷ سنجنده‌ای جدید با همکاری بخش خصوصی و دولتی در کشور آلمان ساخته و به فضا ارسال شد. این سنجنده، TerraSAR-X نام دارد که در باند X به منظور تحقق اهداف تداخل‌سنجی به فضا پرتاب شد. در این داده‌ها حد تفکیک مکانی تا حد قابل توجهی نسبت به سایر داده‌های موجود بهبود یافته‌است؛ قابلیت تصویربرداری با رزولوشن  $1/6 \times 1/9$  متر در منطقه‌ای به وسعت  $30 \times 30$  کیلومتر مربع برای هر تصویر. همچنین درصد تکرار تصویربرداری در آن به هر یازده روز یک‌بار کاهش یافته‌است که در بهبود نتایج تأثیر به‌سزایی دارد (Vajedian et al, 2011).

مراحل کار تحقیق به شرح زیر است:

- ۱- مطالعات اسنادی  
(بررسی مقالات، پایان نامه ها و کتاب ها)
- ۲- داده های RS  
(Sentinel، پردازش تصویر، بررسی کاربری، بازدید منطقه و تعیین فرونشست)
- ۳- داده های محیطی  
(داده زمین شناسی، کاربری اراضی، داده های ژئومورفیک و DEM)
- ۴- مطالعات میدانی  
بررسی میدانی نتایج



شکل ۲: فرایند کلی تحقیق

## تکنیک تداخل سنجی راداری

### ۲-۱ داده ها و مواد مورد استفاده

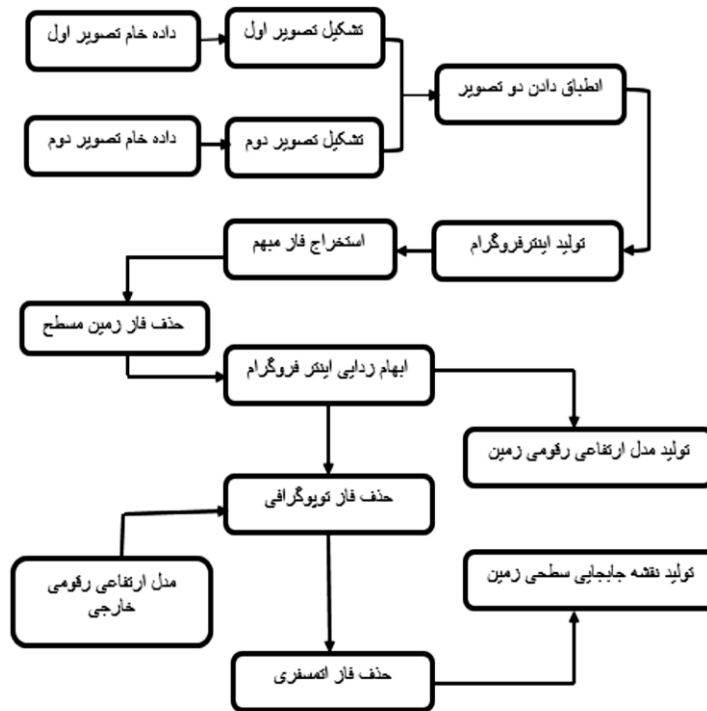
نقشه های زمین شناسی ۱:۱۰۰۰۰۰ مربوط به سازمان زمین شناسی و اکتشافات معدنی، نقشه توپوگرافی ۱:۲۵۰۰۰ مربوط به سازمان نقشه برداری کشور، نقشه کاربری اراضی تولید شده از تصاویر Sentinel2 (۲۰۱۹-۲۰۱۴) با قدرت تفکیک سی متری و تصاویر ماهواره landsat5-8 (گرفته شده از سایت USGS)، تصاویر راداری Envisat - sentinel و داده های چاه های پیژومتری منطقه مورد مطالعه از نرم افزار SARscape5. 2, SNAP6. 0, Envi4. 8 استفاده شده است.

### ۲-۲ روش های مورد استفاده

پردازش تصویر و استخراج فرونشست ها و نقشه برداری، به طور معمول از داده های سنجنش از دور چند زمانه برای تحلیل اثرات زمانی پدیده ها و تغییرات کمی آنها استفاده می شود (ژائو و همکاران، ۲۰۱۷).

### اعتبارسنجی

اعتبارسنجی با استفاده از تصاویر گوگل ارث و داده های اصلی لندست ۸ انجام شد.



شکل ۳: پردازش بر روی زوج تصاویر راداری ماهواره Sentinel

## روش تحقیق

### ۱- روش‌های تولید تداخل سنجی

#### ۱-۱- استفاده از سه دسته داده یا بیشتر که به اختصار 3Pass نامیده می‌شود

یک تداخل نما با استفاده از اختلاف فاز دو تصویر اول و دوم، و تداخل نمای دوم نیز از اختلاف فاز دو تصویر دوم و سوم ایجاد می‌شوند. سپس دو تداخل نمای حاصل از هم تفریق می‌شوند تا تداخل نمای تفریقی حاصل شود.

#### ۱-۲- استفاده از دو دسته داده به همراه یک مدل ارتفاعی

یکی از ابزارهای توانمند برای پایش پدیده فرونشست، روش تداخل سنجی راداری است. این روش با مقایسه فازهای دو تصویر راداری که از یک منطقه در دو زمان مختلف اخذ شده‌اند، قادر به تعیین تغییرات سطح زمین در آن بازه زمانی است. فاز اخذ شده از یک عارضه بر روی سطح زمین، متناسب با فاصله آن تا سنجنده راداری است. بنابراین، ایجاد تغییر در این فاصله بر روی فاز اندازه‌گیری شده اثر می‌گذارد. به کمک تکنیک تداخل سنجی راداری، تصویری به نام اینترفروگرام ساخته می‌شود. یک اینترفروگرام، تصویری است که حاوی اختلاف فاز دو تصویر راداری است که با دقت نسبت به هم ثبت هندسی شده‌اند (Danijel et al, 2003). فاز اینترفروگرام حاوی اثر توپوگرافی، خطاهای مداری و اثرات اتمسفر است. برای به دست آوردن جابه‌جایی سطح زمین در یک بازه زمانی، می‌بایست خطاهای مداری، اثرات توپوگرافی و نویز اتمسفر از اینترفروگرام‌ها حذف شود. برای حذف اثر توپوگرافی، از مدل ارتفاعی رقمی SRTM با قدرت تفکیک مکانی نود متر استفاده شده است. خطاهای مداری نیز با پردازش یک رویه به مناطقی که فاقد جابه‌جایی است، مدل‌سازی و از اینترفروگرام مورد نظر کم می‌شود. خطای اتمسفر را می‌توان به کمک اطلاعات جوی و مدل



اتمسفری تعدیل کرد. (Finnegan et al, 1998). استفاده از تصاویر رادار با روزه مصنوعی SAR برای تشخیص جابه-جایی های موجود در سطح زمین، در حد زیر سانتی متر در اواخر دهه ۱۹۸۰ شروع شد که فن تداخل سنجی راداری (InSAR) را معرفی کرد. این فن با توجه به توانایی اندازه گیری دقیق جابه جایی سطح زمین در یک محدوده گسترده، قدرت تفکیک مکانی بالا و صرف هزینه و زمان کمتر، به ابزاری قدرتمند برای تحلیل حرکات تکتونیکی پوسته زمین تبدیل شد. تکنیک تداخل سنجی، از ضرب مختلط یک تصویر SAR در مزدوج مختلط تصویر دوم تولید می شود و به ایجاد تصویر تداخل سنج منجر می شود و فاز این تصویر، اختلاف فاز بین تصاویر است.

از جمله محدودیت هایی که در تکنیک تداخل سنجی متداول وجود دارد، می توان به فاز نویز ناشی از تغییر در خصوصیات پراکنشی تحت تأثیر خط مبنای مکانی یا زمانی بلند و تغییر در تأخیر سیگنال در حین انتشار در اتمسفر - که به تغییر و ایجاد فاز<sup>۱</sup> اضافی در کل تصویر منجر می شود - اشاره کرد. این محدودیت ها، استفاده از روش های متداول تداخل سنجی راداری را با مشکل مواجه می کند.

دامنه تصویر SAR بیانگر خصوصیات پراکنشی از سطح زمین است. از سوی دیگر، تصویر فاز<sup>۲</sup> اصولاً به شکل تصادفی است که میانگین وزن دار تأخیر فاز بین ارسال و دریافت همه پراکنش ها بر روی زمین در یک پیکسل است. اما اختلاف در فاز بین دو تصویر می تواند به عنوان تغییر فاصله از ماهواره تا زمین، به شرطی که خصوصیات پراکنشی زمین تقریباً ثابت بماند، در تداخل سنجی راداری فاز تصاویر اخذ شده از موقعیت های تصویربرداری یا زمان های تصویربرداری مختلف، پیکسل به پیکسل مقایسه می شود. از تفاضل گیری بین این مقادیر، تصویر جدیدی حاصل می شود که تداخل سنج نام دارد. فاز نهایی ایجاد شده در تداخل سنج که شامل ترم های اضافی است به صورت رابطه زیر می باشد:

$$\Phi_{int} = W \{ \Phi_{def} + \Phi_{atm} + \Phi_{orb} + \Phi_{\theta} + \Phi_N \} \quad \text{رابطه ۱}$$

به طوری که  $\Phi_{def}$  فاز ناشی از حرکت پیکسل در جهت مسیر دید ماهواره،  $\Phi_{atm}$  line of sight اختلاف در تأخیر فاز اتمسفری بین دو تصویر،  $\Phi_{orb}$  فاز باقی مانده ناشی از خطای مداری،  $\Phi_{\theta}$  فاز باقی مانده ناشی از خطای دید زاویه دید - که معمولاً از آن به عنوان خطای DEM نام برده می شود - و  $\Phi_N$  فاز نویز ناشی از تنوع در پراکنش گرها و نویز حرارتی است. اپراتور  $W$  نشان دهنده این امر است. یکی از مهم ترین و در عین حال مشکل ترین مراحل در تداخل سنجی راداری بر آورد تعداد سیکل های صحیح است که به این عمل، بازیابی فاز می گویند. در تداخل سنجی راداری، فاز حاصل از دو تصویر گرفته شده از یک منطقه معین برای تولید تداخل نگار تداخل داده می شود. در واقع تداخل نگار، حاصل ضرب مختلط دو تصویر راداری است. این دو تصویر ممکن است توسط یک سکوی هوایی یا فضایی - که دو آنتن با فاصله معین (خط مبنا) دارد - اخذ شده باشد (تداخل سنجی با عبور منفرد)، یا دو تصویر با فواصل زمانی مختلف و از یک سکوی مشابه گرفته شوند (روش تداخل سنجی با عبور مکرر). اختلاف فاز موجود در دو تصویر، به صورت لبه یا حاشیه در تداخل نگار نمایش داده شده که هر حاشیه یا لبه مشاهده شده به اختلاف فازی مربوط است. تداخل نگار فراهم شده به روش InSAR، می تواند تغییرات ارتفاعی و ناهمواری ها را نمایش دهد. روش تداخل سنجی

<sup>1</sup> Massonnet et al

<sup>2</sup> Phase image

راداری (InSAR)<sup>۱</sup>، امکان تولید مدل‌های رقومی ناهمواری‌های زمین را فراهم می‌سازد که دقت ارتفاعی بهینه آن برای داده C باند با طول موج ۶/۵ سانتی حدود پنج متر است. روش تداخل‌سنجی تفاضلی راداری (D-InSAR<sup>3</sup>) را اولین بار Goldastuon, Zebker (1989) ارائه کردند. این اصطلاح به روش اندازه‌گیری پارامترها از قبیل توپوگرافی، تغییرات و جابه‌جایی سطحی زمین از طریق تداخل فاز دو یا چند تصویر راداری با روزنه مجازی (SAR) اخذ شده از منطقه مشابه اطلاق شده است. این روش می‌تواند با استفاده از حداقل سه (دو تصویر) DEM + یا تعداد بیشتری از تصاویر راداری، تغییرات سطحی رخ داده در زمین را در بازه‌های متفاوت با دقت‌های میلی‌متری آشکار کند؛ در عین حال، این دقت تابع طول موج داده مورد استفاده و معادل نصف آن  $(\lambda / 2)$  خواهد بود.

### حذف اثر فاز توپوگرافی

با استفاده از مدل رقومی زمین می‌توان اثر فاز توپوگرافی را از تداخل‌نگار حذف کرد. هر قدر دقت DEM و فایل تصحیحات مداری (اریت فایل) بیشتر باشد، فرایند حذف با دقت بیشتری انجام می‌شود. نتایج این مرحله این است که power را از phase جدا می‌کند و به تولید فایل‌های  $\text{int}$  و  $\text{dint}$  و  $\text{srdem}$  می‌پردازد. تفاوت  $\text{int}$  و  $\text{dint}$  در این است که در فایل  $\text{int}$  اثر توپوگرافی وجود دارد، ولی در فایل  $\text{dint}$  حذف شده است. علاوه بر تفاوت  $\text{int}$  و  $\text{dint}$ ، تفاوت‌های اطلاعات به دست آمده از فیلترهای Goldstein و Adaptive نیز مشاهده خواهند شد. همان‌طور که مشاهده می‌شود تصویر  $\text{dint}$  و  $\text{int}$  قبل از اعمال فیلتر، تفاوت چندانی با یکدیگر ندارند.

### اعمال فیلتر

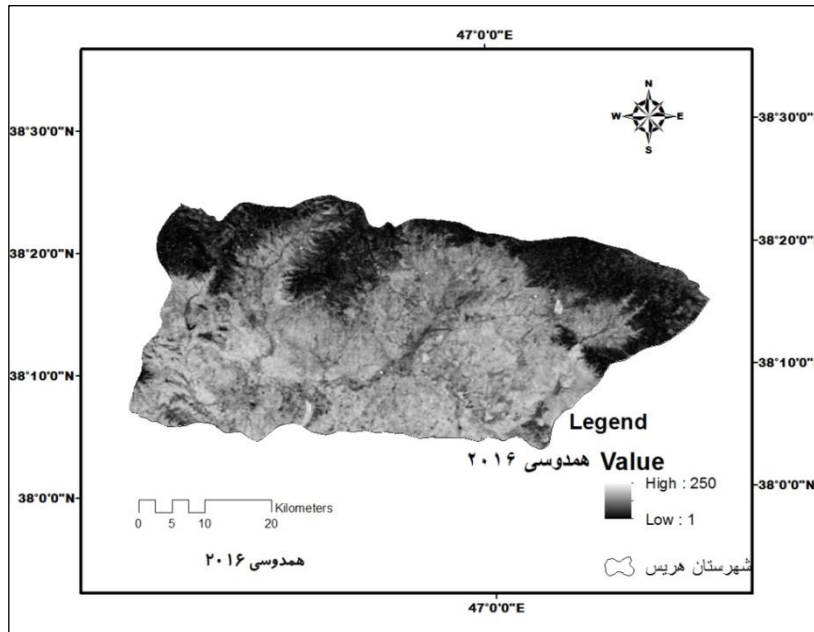
تداخل‌نگار تفاضلی حاصل، دربرگیرنده مقداری نویز است. عامل به وجود آورنده این نویزها می‌تواند مختلف باشد که دو عامل اصلی در به وجود آمدن آنها تأثیرگذار است؛ عامل اول مربوط به تفاوت زمانی بین دو تصویر اصلی و وابسته است. عامل اصلی دوم در به وجود آمدن نویزهای تأثیرگذار، خط مبنای مکانی است که میزان نویزها در تصاویر با خط مبنای مکانی ارتباط مستقیمی دارد؛ هرچه این میزان بیشتر باشد، نویزهای بیشتری در تداخل‌نگار دیده می‌شود. برای حذف و کاهش نویزها از عمل فیلترینگ استفاده شده است (Heshmati, 2014). الگوهای فرینج در تصویر فیلتر شده یا  $\text{Fint}$  به صورت واضح‌تری نمایان است.

**Goldstain Filter:** این فیلتر قدرتمند زمانی مورد استفاده قرار می‌گیرد که تغییرات بر روی فازها، مشکلی در نتایج مسئله ایجاد نکند؛ زیرا این فیلتر در برطرف کردن خطاها بسیار قدرتمند عمل کرده است (Rafiee, 2016).

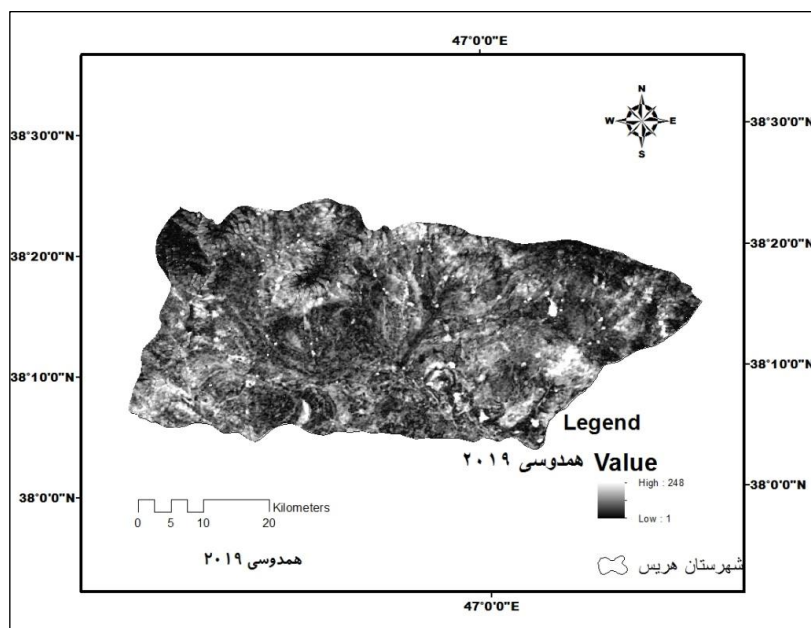
**Adaptive Window Filter:** این فیلتر تطبیقی بر روی ماهیت فازها تغییر ایجاد نمی‌کند و فقط با استفاده از درون‌یابی، به برطرف کردن خطاها می‌پردازد (Rafiee, 2016)<sup>4</sup>.

تصاویر همدوسی<sup>۱</sup>

تصویر همدوس، تصویری است که از همبستگی توانی دو تصویر هم مختصات شده به دست می آید. این تصویر بیانگر شاخص همبستگی مقادیر توان سیگنالی در دو تصویر اخذ شده در دو زمان متفاوت است. مقدار همبستگی از ۰ تا ۱ متغیر است که در میزان کیفیت فرایند تداخل سنجی مؤثر می باشد. در شکل ۲ و ۳، تصویر همدوسی از مراحل اعمال فیلتر Goldstein و فیلتر Adaptive مشاهده می شود. هر چه مقادیر به سمت یک برود، روشن تر بوده که به معنای همدوسی قوی تر و تصاویر مناسب تر است.



شکل ۳: تصویر همدوسی در دشت هریس سال ۲۰۱۶



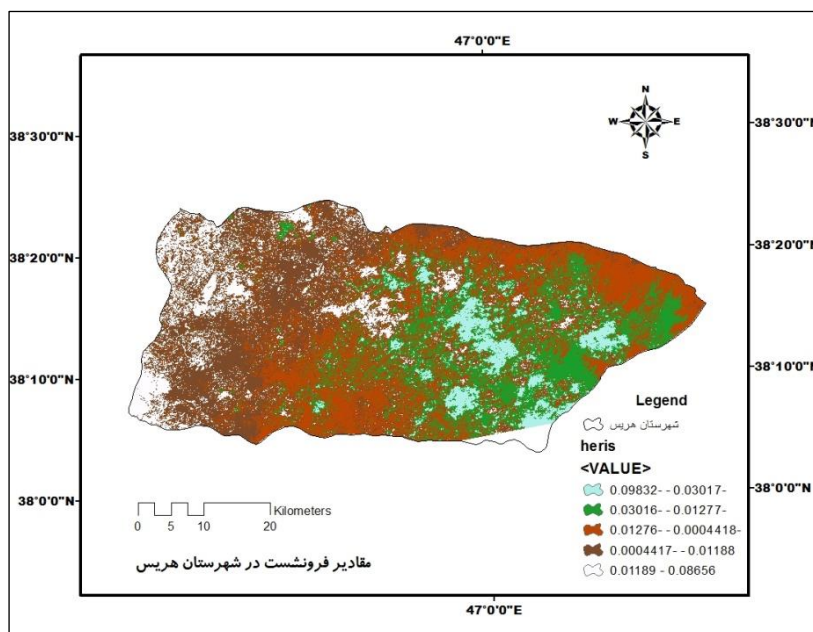
شکل ۴: تصویر همدوسی در دشت هریس سال ۲۰۱۹

<sup>1</sup> Coherence

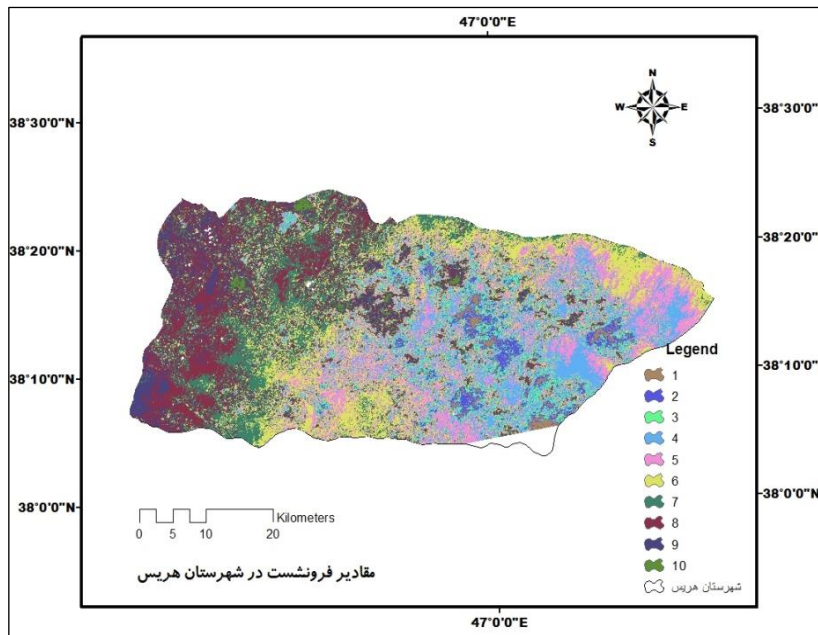
هر چه مقادیر به سمت یک برود، روشن تر بوده که به معنای هم‌دوسی قوی تر و تصاویر مناسب تر است. آنچه در شکل مشاهده می‌شود، مقایسه میان دو نقشه جابه‌جایی با اعمال هر دو فیلتر مورد استفاده است.

### محاسبه فرونشست

باتوجه به محاسبات به دست آمده، میزان فرونشست دشت هریس نشان داده شده است. در شکل ۴، میزان فرونشست دشت هریس بر حسب سانتی‌متر بیان شده است. همان گونه که مشاهده می‌شود، بیشترین فرونشست در مناطق داخلی دشت و منطبق بر زمین‌های زراعی است و این انطباق، تأثیر استخراج آب‌های زیرزمینی و فرونشست در این منطقه را نشان می‌دهد. در شکل ۵ نیز همان موارد در سال ۲۰۱۹ آورده شده و در جدول ۱ نیز مساحت مقدار فرونشست در هر کدام از بازه‌ها ذکر شده است.



شکل ۵: میزان فرونشست دشت هریس در سال ۲۰۱۹



شکل ۶: میزان فروروشست دشت هریس در سال ۲۰۱۹

جدول ۱: میزان فروروشست در منطقه مورد مطالعه در بازه های تقسیم شده در شکل ۵

وسعت منطقه km	میزان فروروشست بر حسب سانتی متر
۲۸/۹۵۷	۰/۰-۰۵۲/۰۹۸
۷۷/۷۸۴	۰/۰-۰۴۸/۰۵۲
۱۲۶/۴۱۸	۰/۰-۰۳۴/۰۴۸
۲۹۴/۸۹۶	۰/۰-۰۲۲/۰۳۴
۳۸۷/۱۴۶	۰/۰-۰۱۴/۰۲۲
۴۶۰/۶۸۶	۰/۰-۰۰۷۶/۰۱۴
۴۱۲/۱۶۵	۰/۰-۰۰۰۴۴/۰۰۷۶
۳۷۸/۰۹۱	۰/۰-۰۰۵۸/۰۰۰۴۴
۱۴۵/۸۸۸	۰/۰-۰۰۶۸/۰۰۵۸
۲۶/۳۴۸	۰/۰-۰۱۴/۰۰۶۸

### یافته ها

#### ارتباط بین سازندهای زمین شناسی و فروروشست

با توجه به جدول رده بندی مشخص می شود که بین سازند زمین شناسی و فروروشست، ارتباط تنگاتنگی وجود دارد؛ هر قدر سازند سست تر باشد، فروروشست در منطقه نیز محسوس تر است. همان طور که ملاحظه می شود، فروروشست در سازند آبرفتی بیش از سازند کنگلومرای آتشفشانی است و دلیل آن، سختی سنگ کنگلومرا می باشد. در نتیجه، سنگ های آبرفتی، آندزیت و مارنی بیشترین و لاتیت (آتشفشانی) کمترین فروروشست را دارند.

در جدول ۲ - که از تحلیل روابط مکانی بین فروروشست و کاربری منطقه حاصل شده است - مشخص می شود که سنگ های سست و منفصل در مقابل سنگ های سخت و آذرین، فروروشست بیشتری داشته اند و بین نوع سازند و

فرونشست، ارتباط قوی مشاهده می‌شود. توضیح این امر لازم است که اعداد منفی، فرونشست قوی‌تری را نشان می‌دهد و مجموع فرونشست، به معنای مجموع سطح نسبت به همان سازند است؛ یعنی هر قدر سازندی، مساحتی بیشتر در منطقه فرونشست شدیدتر داشته باشد، امتیاز بالاتری به خود اختصاص می‌دهد.

جدول ۲: ارتباط بین نوع سازند و فرونشست در منطقه مورد مطالعه

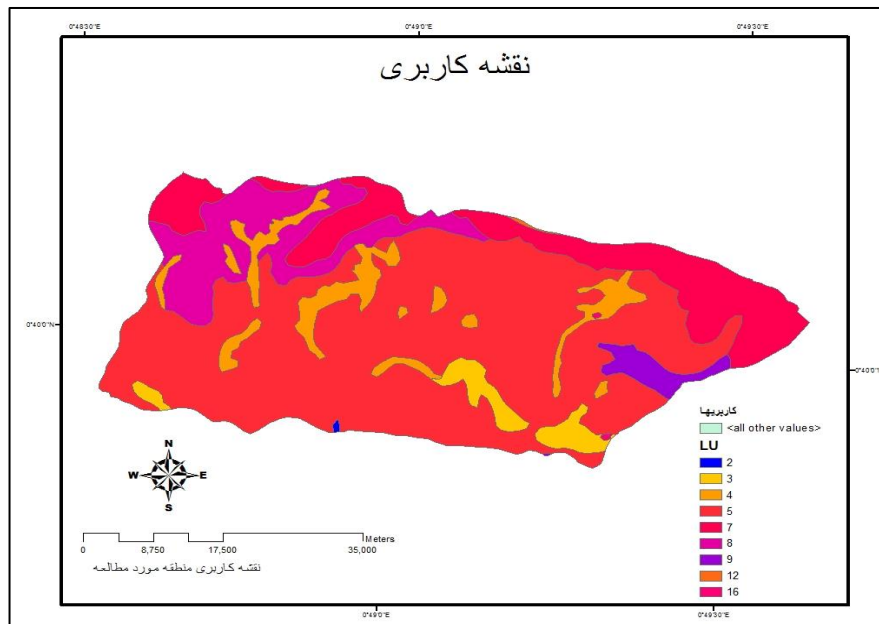
لیتولوژی	مجموع cm فرونشست	لیتولوژی	مجموع فرونشست	لیتولوژی	مجموع cm فرونشست
سی نیت	-۱۰/۱۶۰۶۳۸	ریولیت	۱۶/۶۴۶۵۱	مارن ماسه سنگ	۳۵۷۲/۶۱۵
لاتیت - ایگنیمبرت	-۱۰۰۲/۸۵۹۴۰۸	مارن گچی - سیلیستون	-۹۵۲۱/۵۷۰۴۰۷	رسوبات لاکچری	۰۳۶۹۴
تراس جوان و متوسط و قدیمی	۰۳۴/۱۰۸	لاتیت - آندزیت	-۰۴۳۸۲۶ .۱۶۲	کنگومرای آتشفشانی	-۴۵۵۸۲۳
سیلت - کنگومرا	۱۱۶۸/۷۱	داسیت	۱۷/۶۰۷۱۵	یولیتگ تراس	۳۹۰/۰۲۵۲
لاتیت	-۱۱۷۶/۷۹۱۳۳۳	آندزیت تراکی - داسیت	۱۸۹/۲۹۱۵	کنگومرا - ماسه سنگ	۴۴/۵۰۴۸
ماسه سنگ	۱۲۱/۵۰۹۶	آذر اواری	۲۱/۸۸۷۰۶	مارن - ماسه سنگ	۴۴۵۸/۶۰۳
مارن - لیمیستون	-۱۲۲/۷۰۷۵۶۱	لمیستون	۲۱۲/۰۹۹۸	آندیت تراشی - داسیت	۴۵/۹۶۰۶۶
نمکی	-۱۴۳۴/۶۴۱۸۰۵	آبرفت اخیر - روسوب رودخانه	-۹۰۱۰/۴۲۲۰۵۱	لاتیت - بازالت	-۴۵۱/۲۸۶۴۸۶
آندزیت	-۱۵۰/۳۱۵۷۳۵	گابرو (سنگ سیاه آتشفشانی)	۲۴/۷۱۵۹۳	لیمیستون مارنی	-۴۷/۱۶۶۱۸۵
ایگنیمبرت	۱۵۹/۲۲۰۶	داسیت - ایگنیمبرت	-۳۴/۷۴۰۲۶۰	مانیتور سنگ گرانیت	۴۹۲/۶۲۰۳

### ارتباط بین کاربری‌های اراضی و فرونشست

#### تولید نقشه کاربری اراضی

به منظور اجرای این پژوهش با استفاده از تصویر Sentinel ۲ با قدرت تفکیک ده متر، ابتدا به تولید یک تصویر با قدرت تفکیک مکانی بالا برای تفکیک بهتر کاربری‌ها از طریق تصاویر پردازش شده. سپس با استفاده از روش سگمنت‌سازی چندگانه به سگمنت تصاویر با مقدار ۰.۶ و فشردگی ۰.۴ پردازش شد که این مرحله از مهم‌ترین مراحل اجرای طبقه‌بندی تصاویر به روش شی‌گراست. برای کاربری‌های پهنه آبی، کشاورزی، جنگل، باغ، مسکونی، بایر و مرتع نیز به ترتیب ۹۰، ۳۸۰، ۵۰۰، ۵۹، ۲۰۰، ۸۵ و ۷۰ نمونه آموزشی توسط بازدید میدانی، استفاده از نقشه‌های موجود و -

ایجاد تصاویر رنگی کاذب انتخاب شدند. تصاویر پس از اجرای پیش پردازش های لازم، با استفاده از الگوریتم نزدیک-ترین همسایه و روش شیء پایه در نرم افزار اکوگنیشن طبقه بندی و نتایج در شکل ۸ ارائه شد.



شکل ۸: نقشه کاربری منطقه مورد مطالعه

جدول ۳: کاربری های موجود در منطقه

۱۶	۱۲	۹	۸	۷	۵	۴	۳	۲
اراضی شهری	جنگل نیمه انبوه	مراتع ضعیف	مراتع متوسط	مراتع خوب	اراضی زراعی دیم	مجتمع درختی	اراضی زراعت آبی مخلوط زراعت و باغ	زراعت آبی

مناطق مسکونی به دلیل ساخت و ساز و ایجاد وزن سنگین، به همراه عوامل دیگری همچون تخلیه آب زیرزمینی می-تواند عامل فرونشست زمین باشد.

جدول ۴: مجموع فرونشست در هرکدام از کاربری های موجود در منطقه

مجموع	لایه	کد*
-۶۸۳۷/۹۱۳۸۷۱	مرتع	۱
-۴۱۱۶/۷۱۷۰۲۱	مرتع- دیم	۲
-۲۷۵۰/۹۶۶۰۳۶	کشاورزی آبی	۳
-۴۷۵/۷۸۳۱۴۹	مرتع ۲	۴
-۱۹/۱۹۲۴۶۸	کشاورزی- باغ	۵
-۴۷۱۷/۹۶۸۲۴۱۴	بایر	۶
-۵۵۹۶/۴۱۸۴۰۷	مرتع ۱	۷
-۸۲/۰۷۰۶۸۹	بایر- شور	۸

۹	شور	۲۰/۴۴۸۴۲۵-
۱۰	باغ - کشاورزی	۳۲/۲۷۱۷۹۸-
۱۱	مسکونی	۸۸/۶۹۹۸۴۸-
۱۲	آب	۴۳/۸۷۴۹۶۳-

اعمال یک عامل نرم‌کنندگی بهینه تحقق یافت، سپس آهنگ میانگین فرونشست در این بازه زمانی محاسبه شد. بیشترین مقدار فرونشست در این بازه زمانی، ۳۲- میلی‌متر در سال است. می‌توان نتیجه گرفت که روش تداخل‌سنج راداری در اندازه‌گیری تغییر شکل‌های سطح زمین دقت بسیار بالایی دارد؛ در عین حال، پوشش وسیع پیوسته‌ای را از منطقه فراهم می‌کند که این امر تعیین پهنه منطقه تحت تأثیر فرونشست را ممکن می‌سازد.

نتایج طبقه‌بندی شیء پایه به روش نزدیک‌ترین همسایه نشان داد که تصاویر Sentinel ۲ با صحت کل ۸۹٪ و ضریب کاپا ۰/۸۶، عملکرد خوبی برای تولید نقشه‌های کاربری اراضی دارد.

همچنین نتایج فرونشست نشان داد که بخش مرکزی و جنوب غربی دشت هریس، نشست بیشتری دارد. از انطباق نتایج فرونشست و نقشه کاربری اراضی نیز به این مهم دست یافتیم که کاربری‌های انسان‌ساز بیشتر تحت تأثیر نشست زمین است که می‌تواند خود عامل نشست زمین در دشت هریس باشد.

با توجه به جدول شماره ۵ و رده‌بندی مشخص می‌شود که بین کاربری اراضی و فرونشست ارتباط تنگاتنگی وجود دارد. همان‌طور که ملاحظه می‌کنید در مناطق مرتعی فرونشست بیشتر است؛ در مرتع بیشترین و در کشاورزی و باغ کمترین فرونشست وجود دارد.

مطالعات تداخل‌سنجی راداری در این تحقیق توسط دو تصویر ENVISAT با هندسه تصویربرداری پایین‌گذر ۳۳۵ به منظور پردازش اینترفروگرام به کمک نرم‌افزار Sarscape و اطلاعات مداری آژانس فضایی اروپا انجام شد. جدول ۱، مشخصات اینترفروگرام پردازش شده در منطقه مورد مطالعه را با توجه به خط‌مبنای مکانی نشان می‌دهد. به منظور کاهش نویز و افزایش همبستگی زمانی اینترفروگرام‌ها تا جای ممکن سعی شده است از زوج تصویر راداری با بازه زمانی کوتاه استفاده شود.

پس از تولید اینترفروگرام‌ها با اعمال ضریب تبدیل فاز به فاصله، نقشه‌های میزان جابه‌جایی در بازه زمانی تهیه شد.

جدول ۵: تحلیل ارتباط بین کاربری و فرونشست منطقه

ردیف	لایه	مجموع	ردیف	لایه	مجموع
۱	مرتع	۶۸۳۷/۹۱۳۸۷۱-	۷	مرتع ۱	۵۵۹۶/۴۱۸۴۰۷-
۲	مرتع-دیم	۴۱۱۶/۷۱۷۰۲۱-	۸	بایر-شور	۸۲/۰۷۰۶۸۹-
۳	کشاورزی آبی	۲۷۵۰/۹۶۶۰۳۶-	۹	شور	۲۰/۴۴۸۴۲۵-
۴	مرتع ۲	۴۷۵/۷۸۳۱۴۹-	۱۰	باغ - کشاورزی	۳۲/۲۷۱۷۹۸-
۵	کشاورزی-باغ	۱۹/۱۹۲۴۶۸-	۱۱	مسکونی	۸۸/۶۹۹۸۴۸-
۶	بایر	۴۷۱۷/۹۶۸۲۴۱۴-	۱۲	آب	۴۳/۸۷۴۹۶۳-

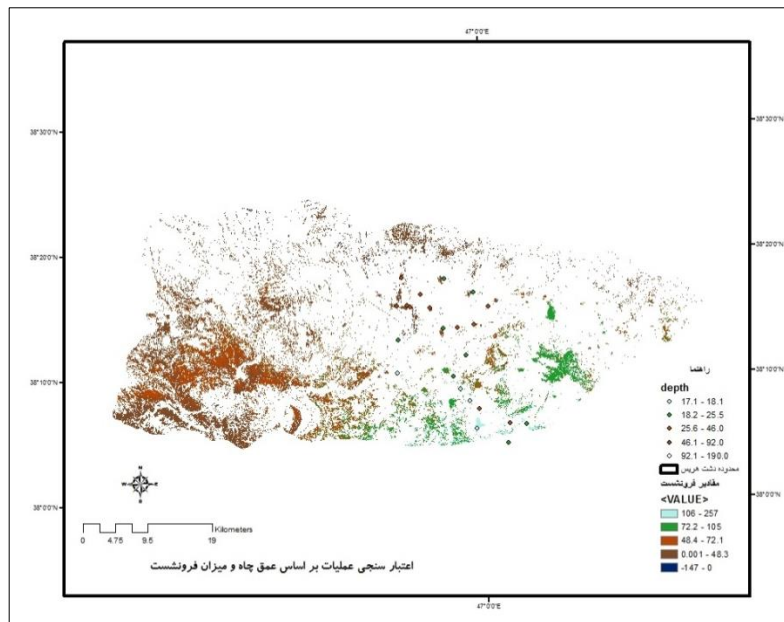


## عمق چاه‌های پیژومتری اعتبارسنجی عملیات

نظر به اینکه فرضیه این تحقیق بر این اصل استوار است که افزایش میزان استخراج آب‌های زیرزمینی باعث و عامل فرونشست در منطقه می‌باشد؛ بنابراین، ارتباط بین عمق چاه‌های منطقه و میزان فرونشست در آن می‌تواند شاخص مناسبی برای ارزیابی صحت عملیات باشد. بنابراین، آمار چاه‌های پیژومتری منطقه از سازمان آب منطقه‌ای استان آذربایجان شرقی دریافت شده و پس از تبدیل آن به فرمت پایگاه داده نرم‌افزار Arc Gis، با استفاده از توابع تحلیل فضایی زونال بین مقادیر فرونشست و عمق چاه‌های پیژومتری ارتباط برقرار شد (شکل شماره ۷). با تحلیل همبستگی رگرسیون بین این دو عامل، مقدار همبستگی مثبت ۸۷ درصد بین آنها مشاهده شد و بدان مفهوم است که هر مکانی که فرونشست زیادی دارد، در آن مکان عمق چاه‌های پیژومتری نیز بیشتر است. این یافته صحت فرضیه این تحقیق مبنی بر وجود ارتباط مستقیم و قوی بین فرونشست و میزان برداشت آب‌های زیرزمینی را اثبات می‌کند.

جدول ۶: عمق چاه پیژومتری

ایستگاه	میانگین تغییرات سطح آب	Yutm	Xutm
بیلوردی	1.27	4234010	684182
گوراوان	3.86	4236313	687310
هریس	16.65	4236696	685472
شمال هریس	7.66	4237720	686491
شیخ رجب	2.2	4226527	662365
احمدآباد	2.6	4231413	662547
ینگجه	6.57	4240601	662920
کشاورزی بیلوردی	15.25	4236603	664259
داخل بیلوردی	16.62	4236603	663822
گلدیر	10.31	4236191	667102
سارای	14.4	4233203	669157
نمرور	2.66	4240545	669225
اربطان	6.25	4226094	670683
پارام	24.82	4233287	671265
بخشایش	2.62	4224206	671675



شکل ۷: نقشه اعتبارسنجی

### نتیجه گیری

به کارگیری روش تداخل سنجی راداری در این تحقیق، به معرفی ظرفیت مناسبی از قابلیت‌های آن در تعیین میزان فرونشست در سطح محدوده مورد مطالعه می‌پردازد. یافته‌های حاصل شده از به کارگیری این روش، میزان فرونشست نسبتاً بالایی را در طی حدود یک ساله نشان می‌دهد.

بر اساس نقشه‌های مورد نظر، بیشینه و کمینه فرونشست در بازه زمانی مذکور به ترتیب  $0.9/8$  و  $0.6/6$  سانتی‌متر است. پس از پردازش اینترفروگرام برای تعیین میزان متوسط فرونشست در بازه زمانی تصاویر مورد نظر، از روش آنالیز سری زمانی به روش کمترین مربعات استفاده شد. این روش به کمک الگوریتمی صورت گرفت که به برآورد فاز جمعی در زمان‌های اخذ تصاویر می‌پردازد و با استفاده از کد موجود در نرم‌افزار Sarscape انجام شده است. بر این اساس، متوسط میزان فرونشست برابر با  $1/2$  سانتی‌متر است. از علل فرونشست در این منطقه می‌توان به استفاده بی‌رویه از منابع آب‌های زیرزمینی و کاهش بارندگی - که به افت سطح آب‌های زیرزمینی منجر شده است - اشاره کرد؛ البته در این بین، نوع کشت در منطقه و فشار وزن ناشی از سازه‌های انسانی در این ناحیه از دیگر علل فرونشست می‌تواند باشد.

در پژوهش حاضر پس از پردازش‌های اولیه بر روی داده‌های ماهواره‌ای Sentinel-1 در نرم‌افزارهای سنجش از دور و سیستم اطلاعات جغرافیایی، میزان نشست در این دشت محاسبه شد. همچنین در این پژوهش از هر دو فیلتر Goldstein و Adaptive برای بررسی استفاده شد که نتایج به دست آمده حاکی از آن است که فیلتر Goldstein مقادیر فرونشست را تا عدد ۹ سانتی‌متر در محدوده‌هایی مشخص و مقادیر بالا آمدگی را نیز تا حدود  $8/5$  سانتی‌متر و فیلتر Adaptive، مقادیر فرونشست را تا عدد  $9/5$  سانتی‌متر در محدوده‌هایی و مقادیر آپلیفت را نیز تا حدود ۸ سانتی‌متر نشان داده‌اند. دلیل تفاوت مقادیر در نتایج این دو فیلتر این است که فیلتر Goldstein با دست‌کاری در فازها میزان کوه‌رنس بالا می‌رود و میزان روشنایی بخش‌های مختلف بیشتر است و تصویر روشن‌تر است؛ بنابراین، وضعیت در این فیلتر بهتر می‌شود. اما در زمینه فیلتر Adaptive این چنین نیست و فازها دست‌کاری نشده و در بعضی مناطق

Coherence باقی مانده است و میزان تیرگی در بخش های مختلف تصویر بیشتر است. اما در هر دو تصویر، میزان فرونشست به طوری قابل توجه در سمت شرق محدوده مشاهده می شود که این امر به دلیل تمرکز بیشتر فعالیت کشاورزی و میزان استفاده از آب های زیرزمینی است. ارتباط بین عمق چاه های منطقه و میزان فرونشست در دشت هریس می تواند شاخص مناسبی برای ارزیابی صحت عملیات باشد. در نتیجه با تحلیل همبستگی رگرسیون بین این دو عامل، مقدار همبستگی مثبت ۸۷ درصد بین آنها مشاهده شد و این بدین مفهوم است که هر مکانی فرونشست زیادی دارد، در آن مکان عمق چاه های پیژومتری نیز بیشتر است. در نتیجه، ارتباط مستقیم و قوی بین فرونشست و میزان برداشت آب های زیرزمینی را اثبات می کند. این پژوهش مانند پژوهش های مشابهی است که Mokhtary و همکاران (۲۰۱۹)، Goli و همکاران (۲۰۱۹)، Keshavarz و همکاران (۲۰۱۸)، Salehi motahed و همکاران (۲۰۱۹)، Xi-cunHe (2019)، صداقت و همکاران (۲۰۲۰) با استفاده از تکنیک تداخل سنجی راداری انجام دادند و نشان داد که استفاده از این تکنیک و استفاده از داده های ماهواره ای راداری، بهترین و کم هزینه ترین راه برای به دست آوردن میزان فرونشست است. در این تحقیق علاوه بر این، از دو فیلتر هم زمان استفاده شده است.

#### منابع

1. Afifi, M. E. 2016. Assessment of land subsidence potential And factors affecting it (Case study: Seydan Farooq Marvdasht plain), *Quantitative Geomorphological Research*, 5(3), 132-121.
2. Akbari. , E.; Ebrahimi, M.; Nezhadsoleimani, H.; & B. Feizizadeh, 2016. Evaluating land surface temperature related to the land use chang detection by satellite image (case study:taleghan basin).
3. Alizadeh, M.; Mousivand, A.; & S. Sima, 2019. on the spatial and Tepporal performance of ES TARFM downscaling method for generating landsat –like imagery, *journal of spatial planning*, 23(4), 123-145. (in Persian)
4. Behboodi, S, H.; HajiAbulHassan, H.; & K. Borna, 2017. Combining Categories using dempster schaffer combination theory, Master thesis of shahid beheshti university (in persion).
5. Djamour, Y.; Philippe, V.; Nankali, H.; & F. Tavakoli, 2011, NW Iran-eastern Turkey present-day kinematics: Results from the Iranian permanent GPS network, *Earth and Planetary Science Letters*, 307, 27-34.
6. Emam bakhsh, M.; Almodaresi, S. A.; & K. Naghdi, 2014. Investigation of land subsidence in Kerman Arzooei plain Using a radar differential interferometer(D-inSAR, ASAR and SENTINEL-1 images), Third National Symposium on Advanced Remote Sensing and GIS Models) In Land Preparation, Yazd, Yazd Islamic Azad University - Yazd Municipality.
7. Ferretti, A.; Fumagalli, A.; Novali, F.; Prati, C.; Rocca, F.; & A. Rucci, 2011. A new algorithm for processing interferometric data-stacks: SqueeSAR, *IEEE Transactions on Geoscience and Remote Sensing*, 49(9), 3460-347.
8. Finnegan, N.; Pritchard, M.; Lohman, R.; & P. Lundgren, 2008. Constraints on surface deformation in the Seattle, WA urban corridor from satellite radar interferometry time eries analysis, *Geophysical Journal International*, 174, 29-41.
9. Ghahrodi tali, M.; Afshari, A.; Sadogh, H.; & M. Ehteshami moein abadi, 2016. Evaluation of slope instability in Lorestan railway area using radar differential interferometry (DINSAR) method, *Quantitative geomorphological research*, 44 / 5000 Eighth year, 3, 220-183.
10. Gholi Mokhtari, L.; Safiei, N.; Amirahmadi, A. Gh.; & R. Zandi, 2016. Investigation of subsidence of Nurabad plain aquifer using radar interferometry method, *Quantitative geomorphological researches*, 8th year, 4, 111-93.

11. Habib zade, A., PhD Thesis, 2014. Hydrogeomofological analyzes, Northern Quaternary deposits
12. Feizizadeh, Bakhtiar; Hilali, Hussein (1389). Comparison of basic, object-oriented pixel methods and effective parameters in land cover / land use classification of West Azerbaijan province. *Natural Geography Research (Geographical Research)*. 42 (71), 84-73.
13. –Dideban, Khalil, Feizizadeh, Bakhtiar (2020). Investigating the effect of ground displacement on demolished buildings in Bam city using fuzzy techniques and radar interferometry. *Natural Geography Research (Geographical Research)*. 42 (71), 84-73.
14. Vajdian, Sanaz, Serajian, Mohammad Reza (1397). Analysis and evaluation of earthquake damage using radar imaging technology with artificial aperture.). *Watershed Management Research*, 23 (2), 32-19
15. Keshavarz, Ahmad, Rafiei, Ali, Shahbazi, Azam (2018). Detection of changes in star radar images using the coordination ratio method. *Watershed Management Research*, 42 (2), 32-17
16. Haghghat joo, P.; Deldanzoj, J.; Tajik, R.; Jabari, S.; Sahebi, M.; Salami, R.; Ghanjian, M.; & M. Dehghan, 2012. Hashtgerd subsidence time series analysis Using radar interference method and global positioning system, *Earth Sciences*, 85, 114-105.
17. Heshmati, Sh, 2014. Master Thesis, Neishabour plain subsidence modeling using time series And DINSAR technique 1393, Islamic Azad University, Yazd Branch, Iran.
18. Maleki, R.; Mokhtarzade, M.; Abkar, GH.; Voldanzoj, Mj.; & Gh. Ghafouri, 2014. Preparation of geological map of fractures. Lines using Combined Aperture Radar Imaging (SAR) Case study - image of Kalat Naderi region, *Journal of Radar Research*, Second Year 1, 28-19.
19. Masoud, A. A., & K. Koike., (2011), Morphotectonics inferred from the analysis of topographic lineaments auto-detected from DEMs: Application and validation for the Sinai Peninsula, Egypt. *Elsevier Tectonophysics*. 510, 291-308.
20. Miles, S. B., 2010, Participatory model assessment of earthquake-induced andslide hazard models, Natural Hazards Center (2010).
21. Nedaei, A., 2016. Modeling Abarkooh Cave Dynamics Using Radar Interferometry (D-INSAR) Technique, Master Thesis, Islamic Azad University, Yazd Branch, Iran.
22. Rafeei, J., & M. Sadighi., (2016). Determining the amount of subsidence on Radar Interference Basis (InSAR) In Naftshahr oil field, National Geomatics Conference, Volume 23.
23. Saadat far, A.; Dehghani, M.; Esmaeili, Zamani, & B. Gharachaman, 2014. Investigation of pre-shifting displacements of Ahar Varzeqan fault Using radar interference time series No. 2, 20-11.
24. Salehi, R.; Ghafouri, M.; Lashghari poor, G.; & M. Dehghan, 2013. Investigation of subsidence of South Mahyar plain- Using the interferometry method, *Journal of Irrigation and Water*, Third year number 11.
25. Sedaghat, M.; Ghazifard, A.; Ajalloeian, R.; & K. Shirani, 2020. Evaluation of the subsidence hazard due to groundwater withdrawal in Isfahan Metropolis Geotechnical and Geological Engineering, volume 38, pages 297-318.
26. Sharifi kia, M., 2012. Determining the extent and extent of land subsidence using radar interferometry (D-insar) method In Nogh Bahraman plain, Institute of Humanities and Cultural Studies.
27. Xi-Cun, He.; Tian-Liang, Yang.; Shui-Long, Shen.; Ye-Shuang, Xu.; & A. Arul, 2019. Land Subsidence Control Zone and Policy for the Environmental Protection of Shanghai, *Int J Environ Res Public Health*, 16(15), 2729.
28. Yanbo, C.; Ya-ni, W.; I Wen, F.; Min, P.; & B. Liangliang, 2020. Experimental study of land subsidence in response to groundwater withdrawal and recharge in Changping District of Beijing, *PLOS ONE*, 15(5), 1-17.

29. Zebker, H. A., & P. Rosen., (1994). On the derivation of coseismic displacement fields using differential radar interferometry: The Landers earthquake,« Proceedings of IGARSS '94 - 1994 IEEE International Geoscience and Remote Sensing Symposium. Pasadena. CA. USA. 1994, vol 1.
30. Zhao et al. (2017). Provide a method for detecting road areas in radar images with a high-resolution combined star aperture. *Int J Environ Res Public Health*, 16(15).
31. Chio , H., 2011. Evaluation of the effect of different filters on the reduction of spectral noise in radar images with different wavelengths. . Pasadena. CA. USA., vol 6.

## Detection and Determination of Subsidence Using Radar Interferometer (D-InSAR) Method (Harris Plain)

Asadollah Hejazi<sup>1</sup>: Associate Professor, Department of Geomorphology, Faculty of Planning and Environmental Sciences, University of Tabriz, Iran

Mohammad Hossein Rezaei Moghadam: Professor of Geomorphology, Department of Geomorphology, Faculty of Planning and Environmental Sciences, University of Tabriz, Iran

Khalil Valizadeh Kamran: Associate Professor, Department of Remote Sensing and GIS, Faculty of Planning and Environmental Sciences, University of Tabriz, Iran

Neda Musavi Kojabad: Ph.D Student in Geomorphology, Faculty of Planning and Environmental Sciences, University of Tabriz, Tabriz

Article History (Received: 2021/06/21

Accepted: 2021/11/18)

### Extended abstract

### 1-Introduction

Subsidence is a morphological phenomenon that occurs under the influence of land subsidence motion. The cause of this phenomenon may be due to human and natural factors. The phenomenon of subsidence in recent decades has created many problems for agricultural lands, residential areas, roads and water supply canals in some parts of the country. In recent years, the decrease in rainfall and the increase in uncontrolled groundwater harvesting by exploitation wells have caused a large drop in groundwater level, which has resulted in subsidence and cracks and fissures in parts of the Harris plain. In this research, in order to determine the affected area and finally estimate the amount of subsidence, the radar interferometer method has been used. The advantages of this method include very high accuracy, wide coverage, high spatial resolution and no need for field work, cost-effectiveness and the possibility of accessing information in any weather conditions. ENVISAT and Sentinel radar satellite images were used for this purpose. Also, two Goldstein and Adaptive filters were used to evaluate the obtained results. Also, to validate the research, the relationship between subsidence and the depth of wells in the region was studied, which showed a positive correlation of 87%; this indicates that the depth of wells is also deeper in the areas where subsidence has occurred.

### 2-Method

Software of SARscape5. 2 and SNAP6. 0 used in this research are among the powerful tools for monitoring subsidence. The radar interference method by comparing the phases of two radar images taken from an area in two different times is able to determine changes in the earth's surface in that time period.

The phase obtained from a complication on the ground is proportional to its distance from the radar sensor. Therefore, changing this distance affects the measured phase. An image called an interferogram is created using a radar interferometry technique. To eliminate the topographic effect, the digital elevation model SRTM has been used with a spatial resolution of 90 meters. Orbital errors were modeled by a procedure that have no displacement. Atmospheric error can be adjusted with the help of atmospheric information and atmospheric model. Interferometry is produced by the complex multiplication of one SAR image in the mixed conjugate of the second image. The resulting differential interferometer contains some noise. The cause of these noises can be different, but there are two main factors influencing their occurrence. The first factor is related to the time difference between the two main and

<sup>1</sup> Corresponding Author: [S.hejazi@tabrizu.ac.ir](mailto:S.hejazi@tabrizu.ac.ir)

dependent images. The second main factor influencing the occurrence of noise is the spatial baseline where the amount of noise in the images is directly related to the spatial baseline. Goldstein and Adaptive Window Filters have been used to remove and reduce noise.

As mentioned earlier, Goldstein and Adaptive filters were used in this study, and you will see the main results of these filters below. In principle, the differences between the results of these two widely used filters in the field of radar are discussed. The images have been used in the new 2017 to 2019 returns.

Coherent image is an image that is resulted from the power correlation of two coordinated images. This image shows the correlation index of signal strength values in two images taken at two different times. The value of correlation varies from 0 to 1, which affects the quality of the interferometry process. After interferogram processing, to determine the average subsidence rate in the time period of the images, the time series analysis method was used with the least squares method. Based on this, the average subsidence rate is equal to 1.2 cm. Due to subsidence in this area, it is possible to use groundwater resources indiscriminately and reduce rainfall, which has led to a drop in groundwater levels. Of course, the type of cultivation in the region and the weight pressure caused by human structures in this area can be other causes of subsidence. The obtained results showed that the Goldstein filter has subsidence values up to 9 cm in certain ranges and the uplift values up to about 8.5 cm and the Adaptive filter subsidence has values up to 9.5 cm in the range and the values of the uplift up to about 8 cm. The reason for the difference in values is the results of these two filters. The Goldstein filter, by manipulating the phases, increases the coherence and the brightness of different parts and is higher and brighter, so the situation is better in this filter. In Adaptive filter, phases are not manipulated, coherence zones remain and the amount of blur is greater in different parts of the image. However, in each picture, the amount of subsidence is significantly observed in the east of the area, which is due to the greater concentration of agricultural activity and the use of groundwater.

### 3-Results:

There is a close relationship between geological formation and subsidence: the weaker the formation, the more noticeable the subsidence in the area. As can be seen, the subsidence in the alluvial formation is more than the volcanic conglomerate formation and the reason is the hardness of the conglomerate stone. As a result, alluvial rocks, andesite and marl have the most subsidence and latite (volcanic) have the least subsidence. Given that the hypothesis of this research was based on the principle that increasing the amount of groundwater extraction causes subsidence in the region, the relationship between the depth of wells in the area and the amount of subsidence in that area can be a good indicator to assess the accuracy of operations. Therefore, the statistics of piezometric wells in the region have been received from the Regional Water Organization of East Azerbaijan Province. After converting it to Arch GJS software database format, the relationship between subsidence values and piezometric well depths was established using zonal spatial analysis functions. Regression correlation analysis between these two factors showed a positive correlation of 87% between them and the implication is that any place that has a lot of subsidence in it is deeper piezometric wells. This finding confirms the hypothesis of this research that there is a direct and strong relationship between subsidence and groundwater abstraction.

### 4-Discussion & conclusions

The use of radar interference method in this study introduces a good capacity for its capabilities in determining the amount of subsidence in the study area. Findings from the use of this method showed a relatively high rate of subsidence for about a year. According to the maps, the maximum and minimum subsidence in the mentioned periods are 9.8, 0.6 cm, respectively. After entrophagram processing, time series analysis method with least squares method was used to determine the average

subsidence rate in the time period of the images. Based on this analysis, the average subsidence rate is equal to 1.2 cm. One of the causes of subsidence in this area is the indiscriminate use of groundwater resources and reduced rainfall, which has led to a drop in groundwater levels. In the present study, after initial processing on Sentinel-1 satellite data in remote sensing software and GIS, the amount of subsidence in this plain was estimated. Also in this study, both Goldstein and Adaptive filters were used for conducting further investigation. The obtained results indicated that the Goldstein filter has subsidence values up to 9 cm in certain ranges and the uplift values up to about 8.5 cm and the Adaptive filter has the subsidence values up to 9.5 cm in some ranges and uplift values are also shown up to about 8 cm. The reason for the difference in values in the results of these two filters is that the Goldstein filter, by manipulating the phases, increases the coherence rate and the brightness of different parts and the image is brighter, so the situation in this filter improves. But this is not the case with the Adaptive filter, and the phases are not manipulated, and in some areas the coherence remains, and the amount of blur is greater in different parts of the image. However, in both images, the amount of subsidence can be seen significantly to the east of the area, which is due to the greater concentration of agricultural activity and the use of groundwater.

**Key Word:** Filter, Water table drop, Harris Plain, Radar images, Subsidence